

DOI: 10.13652/j.issn.1003-5788.2017.05.020

# 气相色谱一质谱法检测肉制品中的杀鼠酮

Determination of pindone in meat product by GC-MS

贺 燕 徐文泱 孙桂芳 周兴旺 唐万里

HE Yan XU Wen-yang SUN Gui-fang ZHOU Xing-wang TANG Wan-li (湖南省食品质量监督检验研究院,湖南 长沙 410017)

(Hunan Research Institute of Food Quality Supervision and Inspection, Changsha, Hunan 410017, China)

摘要:建立了气相色谱—质谱法测定肉制品中杀鼠酮的方法。考察了不同的提取及净化方式对检测结果的影响。试样经丙酮—正己烷超声提取,采用一种新型分散固相萃取管进行净化,采用 EI 源以气相色谱质谱法进行检测。添标水平为  $0.5\sim5.0~\text{mg/kg}$  时平均回收率为  $81\%\sim89\%$ ,相对标准偏差为  $3.0\%\sim8.4\%$ ,杀鼠酮检出限为 0.005~mg/kg,该方法快速、简单且灵敏度高,符合检测方法参数的确认要求。

关键词:气相色谱-质谱法;杀鼠酮;肉制品;检测

Abstract: To establish a GC-MS method for determination of pindone in meat products. The effects of ways of extraction and purification on the recovery have been studied. The samples were extracted by action and (hexane 1:1) with dSPE purified column. GC-MS was used for determination by EI. The average recoveries were in the range of  $81\% \sim 89\%$  at spiked levels of  $0.5 \sim 5.0$  mg/kg. The relative standard deviation of the methods were  $3.0\% \sim 8.4\%$ , and the limit of quantification reached 0.005 mg/kg which meet the requirement of technical parameters for analysis with fast and simple determination and high sensitivity.

Keywords: GC-MS; pindone; meat products; determination

近年来,由误食鼠药引发的食品安全事故屡有发生。杀鼠酮是一种抗凝血类杀鼠剂<sup>[1-2]</sup>,其母体结构为茚满二酮<sup>[3]</sup>,其作用机制是竞争性抑制维生素 K<sub>1</sub>,影响凝血因子在肝脏内的合成,使凝血时间延长,导致出血<sup>[4]</sup>。杀鼠酮见效快,对人的毒性和残留较小,因此被广泛使用,目前这种鼠药未有任何国家、地方标准或较为系统通用的定性定量检测方法。对此类鼠药检测的相关文献<sup>[4-7]</sup>报道主要针对一些生物样本,特点是基质简单,杂质干扰少,对样品的处理较为简单,基本无需采取进一步的净化手段,但对脂肪含量较多或组成成分复杂的食品尚未涉及,因此对其建立食品中的检测

基金项目:湖南省食品药品安全科技项目(编号:湘食药科 R201608) 作者简介:贺燕(1982—),女,湖南省食品质量监督检验研究院工程 师,硕士。E-mail:45023091@qq.com

收稿日期:2017-04-01

方法十分必要。

谢维平等[8]以 QuEChERS 方法对血浆中的抗凝血灭鼠剂进行净化,其加标回收率为 70.4%~101.5%。黄克建等[9]以乙腈沉淀样品中的蛋白质,稀释、离心后直接进样,建立了同时测定全血和尿液样品中 7 种抗凝血杀鼠药的在线固相萃取/液相色谱一线性离子阱质谱分析方法。

抗凝血杀鼠药的检测方法以液相色谱<sup>[10-13]</sup>及液相色谱一质谱法<sup>[14-16]</sup>为多,Virginie Vandenbroucke 等<sup>[6]</sup>采用LC-HESI-MS/MS(液相色谱—加热电喷雾电离串联质谱)方法检测肝脏中的8种抗凝血杀鼠药成分,检出限最低可达0.37 ng/g(杀鼠灵);陈晓红等<sup>[5-17-18]</sup>致力于离子色谱质谱检测多种鼠药的方法;谢珍茗等<sup>[19]</sup>以α-溴苯乙酮酯为衍生化试剂,建立了柱前衍生—高效液相色谱法测定生物检材中的氟乙酸钠。前处理方法主要有QuEChers净化<sup>[8-20]</sup>、SPE<sup>[21]</sup>、液液萃取<sup>[7]</sup>等。食品中对鼠药的气相色谱—质谱法鲜有建立。气相色谱—质谱法是—种常用的检测食品中有害物质的仪器方法,检测分子量小,沸点低且热稳定性好的化学物质有较强优势<sup>[22-24]</sup>。本研究拟以气相色谱—质谱法建立脂肪含量较多的肉制品中杀鼠酮的检测方法,为中毒案(事)件的杀鼠酮的快速筛查提供技术支撑,提高食品安全风险监测能力及突发事件应急处置能力,填补监测空白。

# 1 材料与方法

#### 1.1 材料与试剂

杀鼠酮:99.8%,北京坛墨质检科技有限公司; 乙腈、丙酮、正己烷:色谱纯,德国 Merck 公司; 二氯甲烷:色谱纯,上海安谱科学仪器有限公司; 石油醚、氯化钠:分析纯,国药集团化学试剂有限公司; 增强性去脂质净化管:5982-0101,美国 Agilent 公司; FLORISIL 柱、NH<sub>2</sub>小柱:500 mg/6 mL,上海安谱科学

FLORISIL 柱、 $NH_2$ 小柱: 500 mg/6 mL, 上海安谱科学 仪器有限公司;

色谱柱: HP-5 MS型,60 m×0.25 μm×0.25 mm,美国 Agilent 公司。

#### 1.2 仪器与设备

气相色谱一质谱联用仪: Agilent 7890A 5975C-MSD型, 美国安捷伦科技有限公司;

离心机:Centrifuge 5804R型,德国艾本德股份公司; 超声波清洗器:KQ-500DE型,昆山美美超声仪器有限公司;

旋转蒸发仪:RE-52AA型,上海亚荣生化仪器厂; 分析天平:SPS401F型,奥豪斯仪器(上海)有限公司; 数显型多管旋涡混合器:945066型,上海安谱科学仪器 有限公司。

#### 1.3 方法

- 1.3.1 色谱条件 色谱柱: HP-5 MS; 程序升温条件: 60 ℃ 保持 1 min, 20 ℃/min 到 180 ℃保持 6 min, 10 ℃/min 到 280 ℃保持 8 min;进样口: 220 ℃; 分流方式: 不分流。
- 1.3.2 质谱条件 离子源为电子轰击离子(EI)源,电子轰击能量为 70 eV,离子源温度为 230 ℃,四极杆温度为 150 ℃,分别采用全扫描 SCAN 和选择离子 SIM 模式,溶剂延迟时间为 5 min。
- 1.3.3 样品萃取条件优化 选取丙酮—正己烷(体积比 1:1)、乙腈、石油醚、石油醚—丙酮(体积比 1:1)、二氯甲烷、乙腈—甲苯(体积比 3:1)为提取溶剂。按 1.3.4 中的方法—进行处理后,以 GC-MS 进行分析,计算回收率。
- 1.3.4 样品净化条件优化 试验考察了 3 种较为常见的正相固相萃取小柱  $[NH_2$  柱、FLORISIL 柱、PSA(脂质增强) 柱 ] 对加标样品香肠和生猪肉进行净化,考察了 3 种萃取柱对目标物回收率的影响。具体方法:
- (1) 称取 5 g 样品,酌情加入少量水及 NaCl,静置 10 min。加入 25 mL 丙酮—正己烷(体积比 1:1)超声提取 20 min。离心并提取上清液。将上述步骤重复后对上清液进行收集,用旋转蒸发仪将其于 45 ℃浓缩,以丙酮定容至 2 mL,转移至增强型脂质去除净化管中,涡混后离心取上清液上机。
- (2) 称取 5 g 样品,酌情加入少量水及 NaCl,静置 10 min。加入 25 mL 丙酮—正己烷(体积比 1:1)超声提取 20 min。离心并提取上清液。将上述步骤重复后对上清液进行收集,用旋转蒸发仪将其于 45 ℃浓缩,分 3 次共加入 12 mL 丙酮—正己烷(体积比 1:1),并以活化后的 NH₂小柱净化。收集洗脱液,浓缩后定容上机。
- (3) 称取 5 g 样品,酌情加入少量水及 NaCl,静置 10 min。加入 25 mL 丙酮—正己烷(体积比 1:1)超声提取 20 min。离心并提取上清液。将上述步骤重复后对上清液进行收集,用旋转蒸发仪将其于 45 ℃浓缩,分 3 次共加入 12 mL 丙酮—正己烷(体积比 1:1),以活化后的 FLORISIL 小柱净化。收集洗脱液,浓缩后定容上机。

# 2 结果与分析

### 2.1 样品提取溶剂的选择

在提取过程中,提取溶剂的选择对杀鼠酮提取效率的影响较大。由于肉制品的蛋白、油脂含量较高,基体杂质干扰

大,因此试验中选择的溶剂应对油脂类大分子的提取效率影响小。由表1可知,丙酮一正己烷(体积比1:1)为提取溶剂时,目标物的回收率和重现性较好。丙酮沸点较低,可保证减压浓缩过程快速、顺利地进行,由于处理温度较低也防止了杀鼠酮的挥发。选取极性较低的混合溶剂可使得部分干扰物与目标物分离,有利于样品的净化和回收率的提高。乙腈一甲苯(体积比3:1)的提取效率最低,可能是此混合溶剂对基质中杂质的提取效果较好,降低了仪器的灵敏度。进一步考察超声提取、索氏提取、振荡提取、均质提取4种常见的提取方式对提取效率的影响,结果表明4种提取方式对结果的影响接近,由于超声提取操作简单,故选择该提取方式。分别比较了超声提取次数为1,2,3次及超声时间为5,20,45 min 对提取效率的影响,确立超声时间 20 min、提取次数2次即可达到理想的提取效率。

# 表 1 不同提取溶剂提取加标肉制品中杀鼠酮的平均 回收率和相对标准偏差

Table 1 Average recoveries and RSD of pindone in spiked meat products with different solvents (n=6) %

溶剂	回收率	相对标准偏差
二氯甲烷	77.2	10.1
丙酮一正己烷(体积比1:1)	90.5	5.4
乙腈	62.1	6.2
石油醚	70.4	8.8
石油醚一丙酮(体积比1:1)	81.2	6.1
乙腈一甲苯(体积比3:1)	59.0	6.6

### 2.2 净化方法的选择

固相萃取相比其他的净化方法,其优势在于处理简单,净化效果较好。因此,被广泛应用于农残兽残的前处理。其选择主要取决于样品基质及目标物的性质。杀鼠酮为中等极性化合物。肉制品中的杂质较多,比较适合正相固相萃取。通过对回收率的比较,发现 FLORISIL 小柱的净化效果最差,回收率仅为 59%,NH2小柱净化对香肠中杀鼠酮的回收率为 58%;采用 PSA 柱两类肉制品的回收率可达到 81%以上,对于脂类物质的净化效果较好。因此试验采用 PSA 柱净化。PSA 柱是弱阴离子交换吸附剂,可有效去除样品中的极性色素、糖类、有机酸、脂肪酸及可形成氢键的组成成分。此外,在净化前,将提取液置于冰箱中冷冻 1 h,使油脂类物质尽量分离,降低对色谱柱的污染,回收率有明显提高。不同固相萃取小柱或净化管对肉制品中杀鼠酮回收率的影响见图 1。

#### 2.3 基质效应的考察

基体对待测组分的影响称为基质效应。常用的校准曲 线测量只在基质效应不影响测定结果时才能使用。以 2.2 净 化条件处理空白试样,并得到洗脱溶剂。用洗脱溶剂配制一 系列标准溶液,通过基质匹配校准曲线的斜率/溶剂标准曲 线的斜率考察化合物的基质效应。对样品在仪器上的信号 值进行考察,结果显示,空白基质配制溶液信号值远远低于

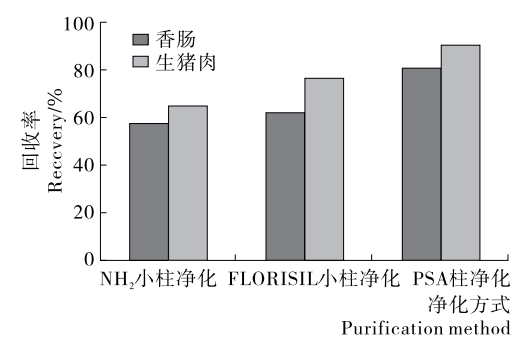


图 1 净化方式对肉制品中杀鼠酮回收率的影响

Figure 1 The effects of purification methods on pindone in meat products

洗脱溶剂配制的同一浓度标准溶液,由此可得,方法基质效应显著,标准溶液宜用空白基质溶液配制。

#### 2.4 仪器条件的优化

杀鼠酮为中等极性化合物,采用 HP-5 MS 色谱柱进行杂质的分离。其沸点不高,出峰时间较早。待测物出峰后再设置较快升温程序使杂质不在色谱柱中滞留,杂质逐渐与色谱柱固定相分离,避免色谱柱污染。

将标准溶液在扫描模式下进行测定,确定其质谱结构信息和保留时间,选择丰度高、碎片质量较大、干扰少的离子作为定量和定性离子。样品测定时,如满足以下条件则判断样品为阳性结果:① 色谱峰的保留时间与标准样品色谱峰的保留时间一致,且偏差在±2.5%之内;② 所选择的监测离子均出现;③ 离子丰度比符合表 2 要求。

# 表 2 定性测定时相对离子丰度的最大允许偏差

Table 2 Selective ion and relative abundance ratio for

target determination		/0
选择离子(m/z)	相对丰度	允许的相对误差
108(定量离子)	100	±10
135	34	$\pm 15$
190	45	$\pm 15$
189	22	±40

标准物质及加标样品的 TIC 图及 SIM 图见图  $2\sim5$ 。由图  $2\sim5$  可知,加标样品的色谱图峰形良好,无杂质干扰。说明此仪器方法条件的适用性较好。

#### 2.5 线性范围和检出限

在优化条件下,以质量浓度为横坐标,响应值为纵坐标绘制标准工作曲线。结果表明,标准曲线线性方程为  $y=1.02\times10^5~x-3.24\times10^4$ ,在质量浓度为 0.05~20.00  $\mu$ g/mL 时,标准曲线线性关系良好,相关系数均>0.99。以 3 倍信噪比计算检出限,得检出限为 0.005 mg/kg。

#### 2.6 回收率和精密度

在空白样品中,添加低、中、高3个浓度水平的标准溶液进行加标回收率测定,每水平做6组平行。由表3可知,各组分测定结果的相对标准偏差在3.0%~8.4%,空白加标回收率为81%~89%,满足GB/T27404—2008对方法技术参

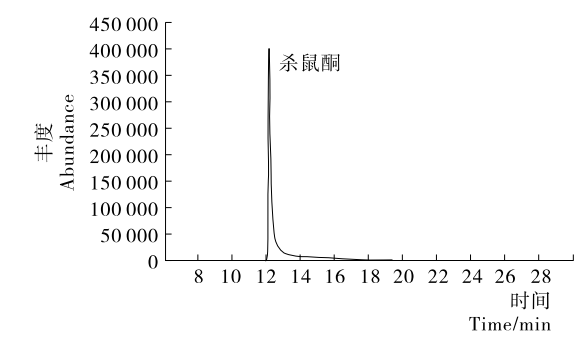
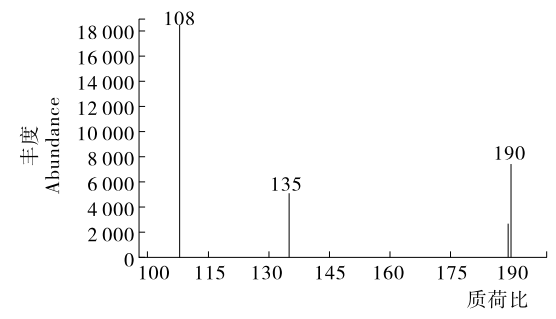


图 2 标准物质杀鼠酮的 TIC 图

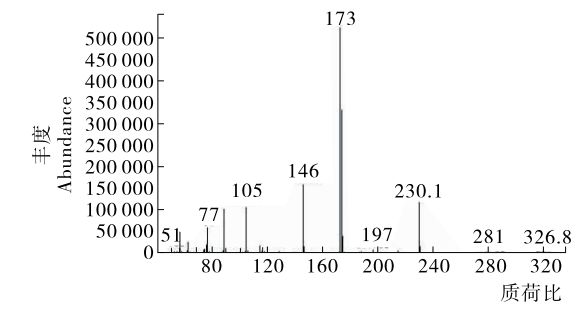
Figure 2 Total ionic chromatogram of standard reference



Mass-to-charge ratio(m/z)

图 3 标准物质杀鼠酮的 SIM 图

Figure 3 Selected ion monitoring chromatogram of pindone



Mass-to-charge ratio(m/z)

图 4 标准物质杀鼠酮的 SCAN 图

Figure 4 SCAN chromatogram of pindone

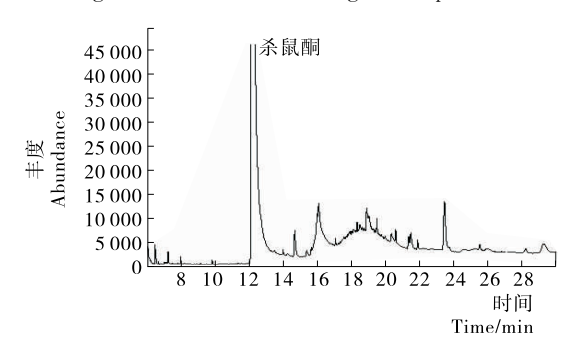


图 5 加入杀鼠酮的肉制品 TIC 图

Figure 5 Total ionic chromatogram of pindone-spiked sample

数的相关要求。

# 3 结论

本试验通过对前处理方式及色谱条件的优化,建立了肉制品中杀鼠酮的气相色谱一质谱联用检测方法,对样品的提

**安全与检测** 2017 年第 5 期

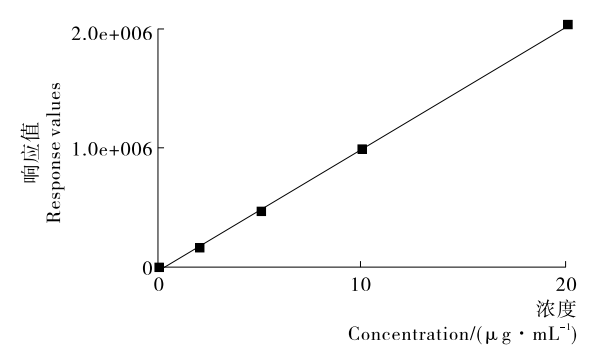


图 6 杀鼠酮标准曲线

Figure 6 Standard curve of pindone

#### 表 3 加标回收率及精密度一览表

Table 3 Recoveries of different spiked levels and relative standard deviation

样品	加入量/(mg·kg <sup>-1</sup> )	平均回收率/%	$\operatorname{RSD}/\%$
	0.5	82	8.4
香肠	1.0	88	7.7
	5.0	87	8.2
腊肉	0.5	81	7.4
	1.0	86	7.2
	5.0	89	6.9
火腿	0.5	82	7.4
	1.0	81	3.0
	5.0	85	5.2

取及净化方法均进行了研究,并确立了精密度、检出限、回收率等技术参数,研究结果表明,该方法快速简单、准确可靠、符合残留检测的要求,为快速检测提供了简便的样品前处理方法和分析手段。

# 参考文献

- [1] CHEN Xiao-hong, CAI Mei-qiang, OUYANG Xiao-kun, et al. Ion chromatography tandem mass spectrometry for simultaneous confirmation and determination of indandione rodenticides in serum[J]. Biomedical Chromatography, 2009, 23(11): 1 217-1 226.
- [2] 陈海燕. 茚满二酮类鼠药的分析进展[J]. 中国卫生检验杂志, 2008(12): 2843-2845.
- [3] 严慧, 沈敏. 抗凝血杀鼠药的分析研究进展[J]. 复旦学报: 医学版, 2011(4): 361-366.
- [4] IMRAN M, SHAFI H, WATTOO S A, et al. Analytical methods for determination of anticoagulant rodenticides in biological samples[J]. Forensic Science International, 2015, 253; 94-102.
- [5] JIN Mi-cong, CHEN Xiao-hong, ZHU Yan. Determination of five 4-hydroxycoumarin rodenticides in animal liver tissues by ion chromatography with fluorescence detection[J]. Journal of Chromatography A, 2007, 1 155(1): 57-61.
- [6] VANDENBROUCKE V, DESMET N, DEBACKER P, et al. Multi-residue analysis of eight anticoagulant rodenticides in

- animal plasma and liver using liquid chromatography combined with heated electrospray ionization tandem mass spectrometry [J]. Journal of Chromatography B, 2008, 869(1/2): 101-110.
- [7] ZHU Lin, YAN Hui, SHEN Bao-hua, et al. Determination of bromadiolone and brodifacoum in human hair by liquid chromatography/tandem mass spectrometry and its application to poisoning cases[J]. Rapid Communications in Mass Spectrometry, 2013, 27(4), 513-520.
- [8] 欧阳燕玲, 苏碧玲, 谢维平. QuEChERS 净化-液相色谱串联质谱法测定血浆中8种抗凝血灭鼠剂[J]. 现代预防医学, 2016, 43(12): 2 229-2 233.
- [9] 黄克建,卢敏萍,周哲.在线固相萃取/液相色谱一线性离子阱质谱法同时定性定量检测全血和尿液中7种抗凝血杀鼠药[J].色谱,2015,33(7):691-698.
- [10] 方赤光, 刘思洁, 李青, 等. 液相色谱法同时测定中毒样品中杀鼠灵、溴敌隆、大隆的含量[J]. 中国卫生检验杂志, 2007(6): 991-992.
- [11] 孟庆玉,黎源倩,邹晓莉,等. 浊点萃取一高效液相色谱法同时测定人尿中的 4 种抗凝血鼠药[J]. 分析化学,2008(6):760-764.
- [12] MAREK L J, KOSKINEN W C. Multiresidue Analysis of Seven Anticoagulant Rodenticides by High-Performance Liquid Chromatography/Electrospray/Mass Spectrometry[J]. Journal of Agricultural and Food Chemistry, 2007, 55(3): 571-576.
- [13] HAO Yun, DONG Xin-feng, LIANG Shu-xuan, et al. Analysis of four anticoagulants rodenticides in foodstuff and body fluids by high-performance liquid chromatography with photodiode-array detector [J]. Analytical Methods, 2014, 6 (7): 2 356.
- [14] SCHAFF J E, MONTGOMERY M A. An HPLC-HR-MS-MS Method for Identification of Anticoagulant Rodenticides in Blood[J]. Journal of Analytical Toxicology, 2013, 37 (6): 321-325.
- [15] JOSEPH G. Determination of Sodium Monofluoroacetate in Dairy Powders by Liquid Chromatography Tandem Mass Spectrometry (LC-MS/MS): First Action 2015.02[J]. Journal of AOAC International, 2015, 98(4): 1 121-1 126.
- [16] HERNÁNDEZ A M, BERNAL J, BERNAL J L, et al. Analysis of anticoagulant rodenticide residues in Microtus arvalis tissues by liquid chromatography with diode array, fluorescence and mass spectrometry detection [J]. Journal of Chromatography B, 2013, 925: 76-85.
- [17] JIN Mi-cong, CHEN Xiao-hong, YE Ming-li, et al. Analysis of indandione anticoagulant rodenticides in animal liver by eluent generator reagent free ion chromatography coupled with electrospray mass spectrometry[J]. Journal of Chromatography A, 2008, 1 213(1): 77-82.
- [18] JIN Mi, CHEN Xiao-hong. Rapid determination of three anticoagulant rodenticides in whole blood by liquid chromatography coupled with electrospray ionization mass spectrometry [J]. Rapid Communications in Mass Spectrometry, 2006, 20(18): 2 741-2 746.

(下转第 124 页)

**机械与控制** 2017 年第 5 期

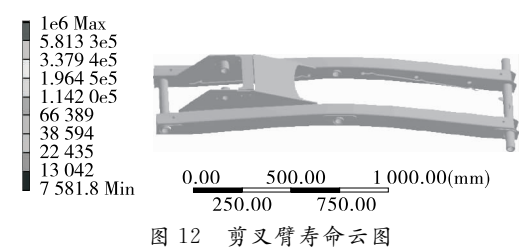
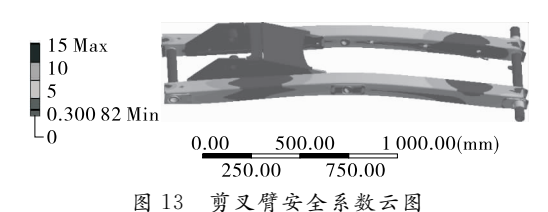


Figure 12 Life nephogram of scissors arms

命为  $1\times10^6$ 次,剪叉臂整体都位于蓝色区域,其对应寿命大于  $3.65\times10^5$ 次,故当前状况下剪叉臂不发生疲劳破坏。图 12 红色标识处为最大疲劳损伤发生区域,最大疲劳损伤发生区域,最大疲劳损伤发生在剪叉臂的铰接孔 A 处的中心轴上。

安全系数(Safety Factor)云图见图 13,安全系数表示剪叉臂的失效应力与设计应力的比值。由图 13 可知,剪叉臂大部分区域均大于规定的安全系数。安全系数的最小值为0.29,比机械零件常用安全系数(1.5)小,在内剪叉臂铰接孔A附近出现小范围安全系数较小的区域,因此,根据该高空作业平台在实际工作中的情况,可在该位置剪叉臂上焊接加强板进行强化。



1 10 // / / X I / X I I

Figure 13 Safety factor nephogram of scissors arms

# 5 结论

- (1) 剪叉式高空作业平台剪叉臂位于最低举升位置时 升降液压缸推力最大,升降液压缸推力随工作平台的上升而 变小并逐渐趋于平稳。
- (2) 在剪叉平台开始上升的初始时刻,剪叉臂最大应力 发生在靠近油缸支耳下端铰接孔处,说明升降液压缸的驱动 力对剪叉臂强度影响很大。仿真计算得到的剪叉臂应力分 布情况与试验结果吻合良好。
- (3) 疲劳仿真计算得出剪叉臂最大应力位置发生疲劳 损伤最大,损伤区域为内剪叉臂与底盘铰接的铰接孔处。可

在该位置剪叉臂上焊接加强板进行强化。

#### 参考文献

- [1] 殷彬. 剪叉式机动平台的设计与结构优化[D]. 长沙: 长沙理工大学, 2012: 1-4.
- [2] 孙光旭, 袁端才. 液压剪叉式升降台的动力学仿真[J]. 系统仿真 学报, 2010, 22(11): 2 650-2 651.
- [3] TRAUIS Langbecker. Kinematic Analysis of Deployable Scissor Structures[J]. International Journal of Space Structures, 1999, 14(1): 1-15.
- [4] ZHAO Jing-shan, CHU Fu-lei, FENG Zhi-jing. The Mechanism Theory and Application of Deployable Structure Based on SLE [J]. Mechanism and Machine Theory, 2009, 44(2): 324-335.
- [5] 孙东明,董为民,李珊. 对称驱动的重载剪式升降平台的设计 [J]. 机械设计与制造,2006(6): 23-24.
- [6] 邓宏光. 剪叉式升降平台建模及关键参数研究[J]. 机电工程技术,2005,34(7):20-22.
- [7] 丁智平. 气液动剪叉式升降平台运动受力分析及其应用[J]. 株洲工学院学报,1999,13(16):49-52.
- [8] 倪素环, 张弛. 一种新型液压升降台的研制[J]. 工程机械, 2011, 42(1): 59-61.
- [9] 熊顺源,鲍卫宁. 空气悬架 C 形托架的疲劳寿命设计[J]. 机械制造,2008,46(12):21-23.
- [10] 蒋红旗. 高空作业车作业臂有限元结构分析[J]. 机械研究与应用, 2004, 17(6): 68-69.
- [11] 张质文, 虞和谦, 王全诺. 起重机设计手册[M]. 北京: 中国铁道出版社, 2001: 59-62.
- [12] 赵宁,董金善,杨云雨.椭圆封头大开孔补强有限元分析及试验研究[J].食品与机械,2016,32(4):103-105.
- [13] 姚卫星. 结构疲劳寿命分析[M]. 北京: 国防工业出版社, 2003: 63-70.
- [14] 王国军. MSC Fatigue 疲劳分析实例教程[M]. 北京: 机械工业 出版社, 2009: 42-44.
- [15] JOOSTEN M W. New study shows how to predict accumulated drill pipe fatigue[J]. World Oil, 1985(10): 21-25.
- [16] 徐才发, 李伟. 起重机主梁舱门处开裂的故障分析[J]. 起重运输机械, 2000(9): 32-35.
- [17] 曾春华, 邹十践. 疲劳分析方法与应用[M]. 北京: 国防工业出版社, 1991: 11.

#### (上接第 102 页)

- [19] 谢珍茗,施文兵,刘岚,等.柱前衍生一高效液相色谱法测定生物 检材中的 氟乙酸钠[J].分析测试学报,2007(2):228-231.
- [20] BESSAIRE T, TARRES A, GOYON A, et al. Quantitative determination of sodium monofluoroacetate "1080" in infant formulas and dairy products by isotope dilution LC-MS/MS[J]. Food Addit Contam Part A Chem Anal Control Expo Risk Assess, 2015, 32(11): 1 885-1 892.
- [21] HU Gui-xian, XU Xiao-min, ZHANG Hu, et al. Fast Determi-

nation of Sodium Monofluoroacetate in Liquid Milk and Dairy Powder by Hydrophilic Interaction Liquid Chromatography-Triple Quadrupole Mass Spectrometry[J]. Food Analytical Methods, 2016, 9(10); 2 741-2 748.

- [22] 付复华,李忠海,单杨,等. GC-MS 法分析三种柑橘皮精油成分[J]. 食品与机械,2010,26(3):30-34.
- [23] 陈利国,曹小彦,黄辉,等.毛细管气相色谱法直接测定食品中4 种对羟基苯甲酸酯[J].食品与机械,2010,26(1):67-69.
- [24] 李金玉. 利用气相色谱一质谱联用技术测定燕麦中脂肪酸的组成[J]. 食品与机械, 2011, 27(3): 82-83.